



## شرایط تشکیل کانسنگ غیرسولفیدی در کانسارهای روب و سرب ناحیه‌ی راور-بافق، یافته‌های ایزوتوب‌های پایدار کربن و اکسیژن

### علی‌امیری<sup>۱</sup> و آیده‌راسا<sup>۲\*</sup>

A-Amiri@iau-zarand.ac.ir

(۲) بخش زمین‌شناسی دانشکده علوم زمین، دانشگاه شهید بهشتی تهران، ایران.

#### چکیده

کانسارهای روب و سرب ناحیه‌ی راور-بافق با سنگ میزبان کربناته به طور عمده در بردارنده‌ی کانسنگ غیرسولفیدی می‌باشند. در این مقاله به بررسی تغییرات ایزوتوبی کربن و اکسیژن کانی‌های جدا شده غیرسولفیدی پرداخته شد. دامنه تغییرات  $\delta^{13}\text{C}_{\text{PDB}}$  کانی اسمیت‌سونیت در این کانسارها از  $-1/\text{۴۵۶}$ -تا  $-7/\text{۲۴۸}$ -در هزار در تغییر است که همخوان با  $\text{CO}_2$  جوی است. در کانی همی مرفت مقدار  $\delta^{13}\text{C}_{\text{PDB}}$  از  $-7/\text{۷۷۱}$ -تا  $-23/\text{۵۵۴}$ -در هزار در تغییر است که نشان‌دهنده‌ی غنی‌شدگی شدید این کانی از ایزوتوب سبک کربن است. کانی‌های آراگونیت رگه‌ای همراه با کانسنگ غیرسولفیدی در شرایط مشابه با سنگ‌آهک شکل گرفته است. دامنه تغییرات  $\delta^{18}\text{O}_{\text{SMOW}}$  و  $\delta^{18}\text{O}_{\text{PDB}}$  نیز در کانی‌های یاد شده بررسی شد. در کانی اسمیت‌سونیت مقادیر  $\delta^{18}\text{O}_{\text{SMOW}}$  از  $+16/\text{۲۶۳}$ -تا  $+21/\text{۸۲۱}$ -در هزار و مقادیر  $\delta^{18}\text{O}_{\text{PDB}}$  از  $-8/\text{۷۶۸}$ -تا  $-6/\text{۸۸۲}$ -در هزار و در کانی همی مرفت مقادیر  $\delta^{18}\text{O}_{\text{SMOW}}$  از  $-10/\text{۸۷۶}$ -تا  $-14/\text{۱۶۰}$ -در هزار در تغییر است. این مقادیر نشان می‌دهد که کانی‌های غیرسولفیدی موجود در این کانسارها از طریق هوازدگی کانسنگ سولفیدی به وسیله آب‌های جوی فرورو و به مقدار کمتر سیالات روزنایی محبوس در تخلخل سنگ میزبان کربناته به وجود آمده‌اند.

واژه‌های کلیدی: ایزوتوب کربن، اکسیژن، سرب، روب، راور-بافق.

## The non-sulfide ore Formation conditions of Ravar-Bafgh area, findings of carbon and oxygen stable isotopes

A .Amiri<sup>1</sup> & I. Rassa<sup>2</sup>

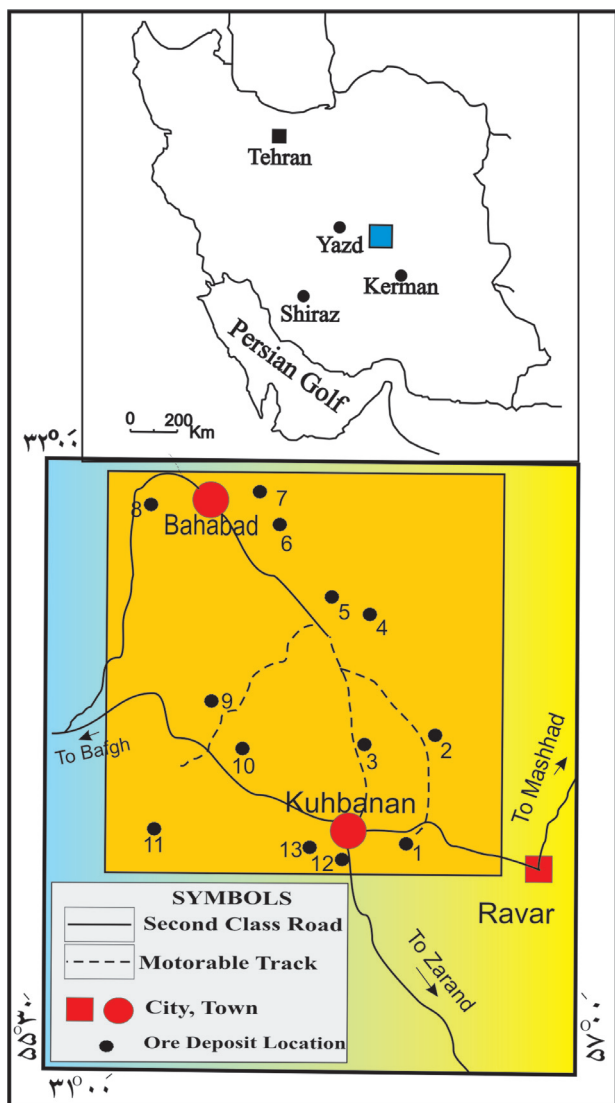
- 1) Department of Geology, Islamic Azad University, Zarand Branch, Zarand, I.R. Iran.  
2) Department of Geology, Faculty of Earth Science, Shahid Beheshti University, Tehran, I.R. Iran.

#### Abstract

The carbonate-hosted zinc-lead deposits of Ravar-Bafgh area mainly contain non-sulfide ore. In this article, we have studied the variations of carbon and oxygen isotopic ratios from separated non-sulfide

minerals. The range of  $\delta^{13}\text{C}_{\text{PDB}}$  in the smithsonite varies from -1.456 to -7.248‰ and shows a good congruency with meteoric CO<sub>2</sub>. In the hemimorphite,  $\delta^{13}\text{C}_{\text{PDB}}$  values vary from -17.871 to -23.554‰ and show high enrichment of light carbon isotope. Vein-type aragonite associated with non-sulfide ore is formed under the same conditions as the smithsonite, but the calcite mineral associated with sulfide ore is formed under the same conditions as the limestone. The range of  $\delta^{18}\text{O}_{\text{SMOW}}$  and  $\delta^{18}\text{O}_{\text{PDB}}$  isotopic ratios is studied in the mentioned minerals. In the smithsonite, the  $\delta^{18}\text{O}_{\text{SMOW}}$  values vary from +21.821 to +26.445‰, the values of  $\delta^{18}\text{O}_{\text{PDB}}$  vary from -6.882 to -8.768‰, the values in the hemimorphite vary from +16.263 to +19.580‰ and from -10.876 to -14.160‰ for  $\delta^{18}\text{O}_{\text{SMOW}}$  and  $\delta^{18}\text{O}_{\text{PDB}}$  respectively. These values show that the non-sulfide minerals of these deposits are formed during the weathering of exposed sulfide ore and the fluids responsible for these processes are descending meteoric waters with minor amount of pore waters entrapped in the porosity of the carbonate host rocks.

**Key word:** Isotope, Carbon, Oxygen, lead, Zinc, Ravar-Bafgh.



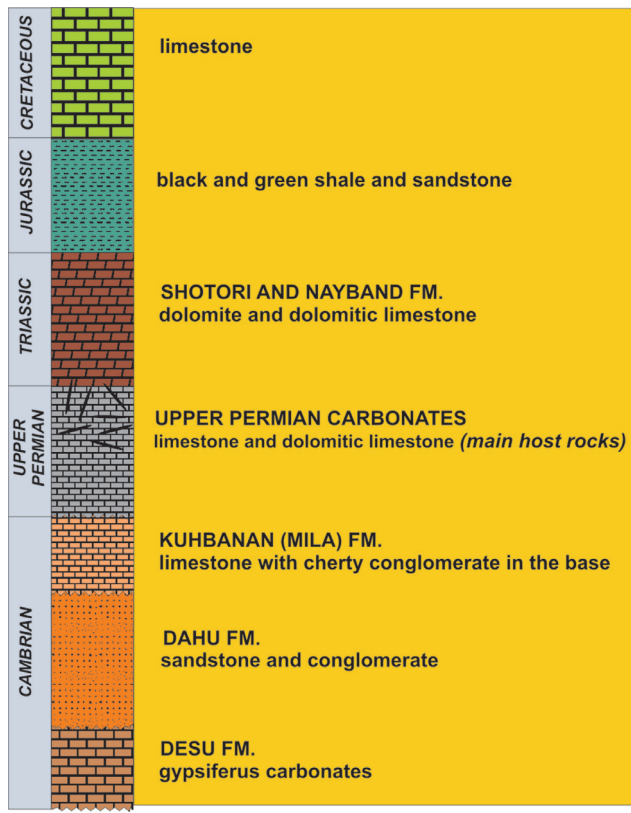
تصویر ۱- موقعیت جغرافیایی و راه‌های دسترسی به کانسارهای روی و سرب با سنگ میزبان کربناته در ناحیه‌ی راور-بافق. ۱- طرز، ۲- گوچر، ۳- کاروانگاه، ۴- تپه سرخ، ۵- سنجدو، ۶- گیچرکوه، ۷- آب حیدر، ۸- احمدآباد (بنه انار)، ۹- چاه میر (سدکس؟)، ۱۰- کوه قلعه، ۱۱- تاچکوه، ۱۲- گور (جور)، ۱۳- میگس.

## ۱- مقدمه

در ناحیه‌ی راور-بافق، در حد فاصل استان‌های کرمان و یزد، نزدیک به چهل معدن و اثر معدنی روی و سرب وجود دارد که در گذشته‌های دور و نزدیک مورد استخراج واقع شده‌اند. در این میان، ۱۲ معدن داری اهمیت بیشتر بوده (تصویر ۱) و در تمام این معدن، کانسنگ غیرسولفیدی روی و سرب به عنوان مهمترین بخش ماده‌ی معدنی مورد استخراج قرار گرفته است. این کانسارها غالباً در سنگ‌های کربناته‌ی پرمین بالابی قرار دارند و شکل ماده‌ی معدنی در آن‌ها عموماً رگه‌ای است. رگه‌های معدنی عموماً چینه‌های دربردارنده را قطع می‌کنند، اما گاه نیز با راستای چینه‌بندی همخوان هستند (امیری و رسا، ۱۳۸۵؛ امیری، ۱۳۸۶).

بررسی‌های انجام شده نشان می‌دهد که کانسنگ غیرسولفیدی موجود در این کانسارها از طریق هوازدگی کانسنگ سولفیدی به وجود آمده است. وجود کانسنگ سولفیدی در عمق پایین‌تر از سطح آب‌های زیرزمینی دلیل اصلی این ادعایست. از طرفی، طی سال‌های اخیر در سطح دنیا توجه چشمگیری به کانسنگ غیرسولفیدی روی و سرب شده است. به همین خاطر، محققان زیادی به این دسته از کانسنگ‌ها پرداخته‌اند (Hitzman et al. 2003). با این وجود هنوز در کشور ایران نگاه درخور توجهی به این دسته از کانسارها نشده است.

یکی از زمینه‌های تحقیقاتی مهم این کانسارها، بررسی بر روی ایزوتوپ‌های پایدار کربن و اکسیژن است. با توجه به این که کانسی‌های معدنی موجود در کانسنگ غیرسولفیدی عمدتاً ترکیبات غیرسولفیدی نظیر کربنات‌ها، سیلیکات‌ها، اکسیدها و هیدروکسیدها



تصویر ۲- ستون چینه‌شناسی شماتیک ناحیه‌ی معدنی راور-بافق (بدون مقیاس) و موقعیت سنگ‌های کربناته میزبان کانسارهای روی و سرب این ناحیه.

جداسازی کانی‌های غیرسولفیدی از کانسنگ غیرسولفیدی معادن مختلف ناحیه‌ی راور-بافق شد. جداسازی به روش میکرودریلینگ و به کمک متّه‌های ظرفیت انجام گردید. سپس نمونه‌های جداشده در زیر استریو میکروسکوپ خالص سازی و با این روش، نمونه‌هایی به وزن تقریبی ۰/۲۵ میلی‌گرم از کانی‌های مختلف تهیّه شد. نمونه‌های تهیّه شده به طور عمدۀ شامل کانی‌های غیرسولفیدی و باطله‌های همراه بوده است. علاوه بر آن برای بررسی محیط تشکیل کانسنگ سولفیدی، نمونه‌هایی از باطله‌های غیرسولفیدی همراه با این نوع کانسنگ نیز تهیّه شد. تعدادی از نمونه‌ها در آزمایشگاه مرکزی علوم دانشگاه تاسمانیا در کشور استرالیا و تعدادی نیز در آزمایشگاه تحقیقات ایزوتوپی دانشگاه کوینزلند در کشور کانادا به وسیله‌ی دستگاه اسپکترومتر جرمی مورد آنالیز قرار گرفت. رفرنس‌های مربوط به آنالیز در دانشگاه تاسمانیا به شرح زیر بوده است:

در مورد استاندارد ایزوتوپی کربن و اکسیژن و فاکتور تصحیح برای آنالیز اسپکتروگرافی جرمی دی‌اکسیدکربن از روش‌های

می‌باشد، در نتیجه عناصر کربن و اکسیژن به فراوانی در ترکیب این کانی‌ها شرکت می‌کنند. به همین خاطر، مطالعه بر روی ایزوتوپ‌های پایدار این عناصر می‌تواند در روشن شدن شرایط تشکیل کانسنگ‌های غیرسولفیدی از اهمیّت زیادی برخوردار باشد. با توجه به مطالب یادشده، مطالعه بر روی ایزوتوپ‌های پایدار کربن و اکسیژن در این کانسارها ضروری می‌باشد.

## ۱۱- موقعیت زمین‌شناسی

ناحیه‌ی معدنی راور-بافق در محدوده‌ی زون ساختاری-رسوبی ایران مرکزی واقع شده است. در این ناحیه کهن‌ترین چینه‌های موجود، کربنات‌های حاوی میان‌لایه‌های گچی سازند ذو می‌باشد (تصویر ۲). سپس توالی ضخیم آواری سازند داهو (معادل سازند لالون در البرز) قرار دارد. این سازند به طور عمدۀ از ماسه‌سنگ قرمز و کنگلومرا تشکیل شده است و در مقاطعه میکروسکوپی آن، دانه‌های کوارتز با خاموشی موجی و فلدسپار آلکالن بسیار فراوان است. واحد کربناته سازند کوهبنان (معادل سازند میلا)، با کنگلومرا چرتی پیشرونده (Base quartzite)، سازند داهو را پوشانده است. در این توالی کربناته چندین افق کوارتز‌آرنايت به چشم می‌خورد. وجود بقایای فسیلی تریلوبیت سن کامبرین را برای این سازند محرز نموده است. پس از سازند کوهبنان، با نایپوستگی هم شیب، واحدهای کربناته پرمین بالایی قرار گرفته‌اند. این سنگ‌های کربناته (آهک دولومیتی شده) میزبان اصلی کانسارهای روی و سرب ناحیه‌ی مورده مطالعه است. بر روی واحد کربناته میزبان، نهشته‌های کربناته دیگر شامل دولومیت و سنگ آهک تریاس قرار گرفته و قابل مقایسه با سازندهای شتری و ناییند است. شیل‌های ضخیم لیاس و سنگ‌های آهکی کرتاسه مهم‌ترین چینه‌های جوان‌تر موجود در این ناحیه را شامل می‌شوند.

روند عمومی ساختارهای زمین‌شناسی در ناحیه‌ی معدنی شمال باختری-جنوب خاوری است و گسل‌های مهم و اساسی کوهبنان و بهباد به عنوان ساختارهای تأثیرگذار در این بخش از ایران مرکزی محسوب می‌شوند.

## ۱۲- نمونه‌برداری و روش تجزیه

به منظور بررسی ایزوتوپ‌های پایدار کربن و اکسیژن، اقدام به

Fifarek 1986, Hoefs 2004) & نشان می‌دهد که کانی اسمیت‌سونیت دارای هم‌خوانی خوبی با سنگ آهک و به ویژه  $\text{CO}_2$  جوی است. این بدان معنی است که تشکیل کانی اسمیت‌سونیت می‌تواند در شرایط مشابه با شرایط تشکیل سنگ آهک به وجود آمده باشد.

جدول ۱- نتایج آنالیز ایزوتوپی کربن و اکسیژن کانی‌های غیرسولفیدی کانسارهای روی و سرب ناحیه‌ی راور بافق.

$\delta^{18}\text{O}_{\text{SMOW}}/0/00$	$\delta^{18}\text{O}_{\text{PDB}}/0/00$	$\delta^{13}\text{C}_{\text{PDB}}/0/00$	Weight (mg)	Sample ID*
-۲۲/۰۱۹	-۸/۵۷۶	-۰/۵۸۴	۲۳/۸	KGH.20.A
-۱۷/۴۷۱	-۱۲/۹۸۸	-۲۳/۵۵۴	۲۶	TAJ.03.H
-۲۳/۰۱۵	-۷/۴۱۶	-۶/۶۹۳	۲۵/۲	TAJ.03.S
-۱۶/۰۶۳	-۱۴/۱۶۰	-۱۸/۶۵۱	۲۵/۶	TRZ.04.H
-۱۷/۵۷۲	-۱۲/۸۹۰	-۲۱/۵۳۹	۲۴/۸	TRZ.06.H
-۲۱/۳۴۵	-۹/۲۳۰	۰/۰۴۱	۲۴/۲	TRZ.12.C
-۲۱/۸۲۱	-۸/۷۶۸	-۱/۴۵۶	۲۴/۴	TS.05.S
-۱۹/۰۹۶	-۱/۱۶۵	-۱۹/۱۲۴	۲۵/۱	GAV.01.H
-۲۳/۸۱۵	-۶/۸۸۲	-۷/۲۴۸	۲۶/۲	GAV.01.S
-۱۷/۲۸۷	-۱۳/۷۱۴	-۲۱/۳۱۱	۲۶/۳	GUJ.11.H
-۲۶/۴۴۵	-۴/۳۳۱	-۴/۴۷۲	۲۳/۷	GUJ.14.S
-۲۵/۶۵۰	-۵/۱۰۲	-۵/۴۳۹	۲۴/۹	GUJ.26.S
-۱۹/۰۹۲	-۱۱/۲۶۹	-۱۷/۸۷۱	۲۶	GIJ.02.H
-۱۹/۵۸۰	-۱۰/۹۸۱	-۱۸/۲۳۲	۲۷/۱	GIJ.05.H
-۲۱/۷۵۹	-۸/۸۱۶	۱/۷۱۴	۲۶/۵	TAJ.32.C
-۲۲/۰۳۸۵	-۸/۶۶۹	-۶/۲۱۹	۲۲/۷	MAG.01.A

\*- علامت‌های اختصاری K, GAV, TS, TRZ, TAJ, KGH و MAG به ترتیب شامل معادن کوه قلعه، تاجکوه، طرز، تپه سرخ، گور، گوجرو و مگسومی باشد. در شماره نمونه‌ها نیز حروف A, S, H, C و S به ترتیب نشانه‌ی رگه‌ای آراگونیتی، همی مرفتی، اسمیت‌سونیت و کلسیت همراه با کانسنگ سولفیدی است.

در واقع شاید بتوان نقشی را در ارتباط با تشکیل این کانی به سیالات روزنه‌ای محبوس در تخلخل سنگ کربناته میزبان داد. قرارگیری کانسنگ غیرسولفیدی در سنگ میزبان کربناته و واکنش سیالات جوی با این سنگ‌ها نیز می‌تواند سبب نزدیکی ترکیب ایزوتوپی آن‌ها با سنگ آهک شده باشد. در مقابل، هم‌خوانی بسیار خوب  $\delta^{13}\text{C}_{\text{PDB}}$  کانی اسمیت‌سونیت با دی‌اکسیدکربن جوی (تصویر ۳) نیز حاکی از این است که تشکیل این کانی بی‌تر دید در ارتباط با سیالات جوی فرورو بوده است. مطالعات کانی‌شناسی نیز این یافته را تأیید می‌کند (امیری ۱۳۸۶)، وجود رگه‌های معدنی که از سطح به

(Walters et al. 1971, Swart et al. 1991, Craig 1957, McCrea 1950) استفاده و تعداد ۱۶ نمونه به روش‌های فوق، مورد آنالیز واقع شدند (جدول ۱).

استاندارد مرجع مورد استفاده برای این آنالیزها و تعیین نسبت ایزوتوپی Pee Dee Blemnitella Americana (PDB) شامل دو استاندارد متعلق به Blemnitella Americana مرتبط به SMOW (کرتاسه مربوط به سازند Pee Dee در آمریکا) و Standard Mean Ocean Water (استاندارد متوسط آب اقیانوس) بوده است. در مورد نسبت ایزوتوپی کربن تنها از استاندارد نمونه‌ی صدف فسیل بلمنیت (PDB) استفاده شده است، در حالی که در مورد نسبت ایزوتوپی اکسیژن از هر دو استاندارد بهره‌گیری شده است. با این وجود، چنانکه برخی از محققان اشاره نموده‌اند مثلاً (Hoefs 2004) استفاده از استاندارد نمونه‌ی صدف فسیل بلمنیت برای کربنات‌های دمای پایین ارجحیت دارد. تبدیل نتایج به دست آمده از طریق به کارگیری استانداردهای صدف فسیل بلمنیت و استاندارد متوسط آب اقیانوس در مواردی که تنها از یک استاندارد استفاده شده باشد، به کمک روابط زیر قابل انجام است. (Coplen et al. 1983)

$$\delta^{18}\text{O}_{\text{SMOW}} = 1.03091 \delta^{18}\text{O}_{\text{PDB}} + 30.91$$

$$\delta^{18}\text{O}_{\text{PDB}} = 0.97002 \delta^{18}\text{O}_{\text{SMOW}} - 29.98$$

#### ۴- ایزوتوپ‌های کربن

به منظور مطالعه‌ی شرایط تشکیل کانسنگ غیرسولفیدی، پس از بررسی‌های صحرایی، کانی‌شناسی و ژئوشیمیایی اقدام به مطالعه‌ی روی ایزوتوپ‌های پایدار کانی‌های غیرسولفیدی شد. برای نمونه‌های دو کانی اسمیت‌سونیت و همی مرفتی به عنوان فراوان ترین کانی‌های غیرسولفیدی روی در کانسارهای ناحیه‌ی مورد نظر، نسبت‌های ایزوتوپی کربن و اکسیژن محاسبه شد.

نسبت ایزوتوپی کربن ( $\delta^{13}\text{C}_{\text{PDB}}$ ) در کانی اسمیت‌سونیت از -۷/۴۵۶- تا -۷/۲۴۸- در هزار در تغییر است (تصویر ۳). سبک‌ترین و سنگین‌ترین نسبت ایزوتوپی کربن به ترتیب مربوط به نمونه‌های معادن تپه سرخ و گور به دست آمده است. بر اساس اندازه‌گیری‌های انجام شده، میانگین حسابی نسبت ایزوتوپی کربن ۵/۰۶۱- در هزار محاسبه شد. مقادیر  $\delta^{13}\text{C}_{\text{PDB}}$  در محیط‌های مختلف (Kerridge 1985, Field 1985)

وجود آمده باشند، بر روی نمونه‌های آرآگونیت این رگه‌های نیز بررسی ایزوتوپی انجام شد. دو نمونه از معادن کوه قلعه و مگسوبه برای این تحقیق خالص سازی گردید و در آن‌ها  $\delta^{13}\text{C}_{\text{PDB}}$  اندازه‌گیری شد (جدول ۱). در این نمونه‌ها مقدار  $\delta^{13}\text{C}_{\text{PDB}}$  از  $-5/864$  (نمونه مربوط به معادن کوه قلعه) تا  $-6/219$  (نمونه‌ی مربوط به معادن مگسوبه) در تغییر است. هرچند که آنالیز دو نمونه نمی‌تواند معرف وضعيت ایزوتوپی کانی آرآگونیت در تمام معادن این ناحیه باشد، اما با این وجود، مشابهت نسبی ترکیب ایزوتوپی این کانی با اسمیت‌سونیت حائز اهمیت است. چنان‌که در تصویر ۳ نیز دیده می‌شود، موقعیت آرآگونیت بهترین پوشش را با  $\text{CO}_2$  جوی نشان می‌دهد و این بدان معنی است که سیالات جوی تنها سیالاتی بوده‌اند که در تشکیل رگه‌های این کانی نقش داشته‌اند. آخرین کانی مورد بررسی دو نمونه از کانی کلسیت همراه با کانسنگ سولفیدی است. مطالعه‌ی میکروسکوپی حاکی از آن است که کلسیت به عنوان یکی از مهمترین کانی‌های باطله، کانسنگ سولفیدی را همراهی نموده و از نظر بافتی به نظر می‌رسد که در شرایط مشابهی با کانی‌های سولفیدی به وجود آمده باشد. در این دو نمونه نیز مقدار  $\delta^{13}\text{C}_{\text{PDB}}$  از  $+0/041$  (نمونه مربوط به معادن طرز) تا  $+7/214$  (نمونه‌ی مربوط به معادن تاجکوه) در هزار در تغییر است. مقایسه‌ی انجام شده بین وضعیت ایزوتوپی این کانی با محیط‌های زمین‌شناسی مختلف (تصویر ۳) نشان می‌دهد که این نمونه‌ها پوشش خوبی با کربنات‌ها و بیکربنات‌های دریابی و همچنین سنگ‌های آهک دارد. در نتیجه می‌توان پذیرفت که کانسنگ سولفیدی در نتیجه‌ی تأثیر سیالاتی مشابه با آب دریا به وجود آمده است.

## ۵- ایزوتوپ‌های اکسیژن

بر روی کانی‌های اسمیت‌سونیت، همی‌مرفت، آرآگونیت و کلسیت علاوه بر مقدار  $\delta^{13}\text{C}$ ، مقدار  $\delta^{18}\text{O}$  نیز اندازه‌گیری شد. در این مطالعه، از دو استاندارد نمونه‌ی صدف فسیل بلمنیت و استاندارد متوجه آب اقیانوس استفاده شده است (جدول ۱). کانی اسمیت سونیت دارای تغییرات  $\delta^{18}\text{O}_{\text{SMOW}}$  از  $+21/821$  (نمونه‌ی مربوط به معادن تپه سرخ) تا  $+26/445$  (نمونه مربوط به معادن گوجر) در هزار می‌باشد. میانگین حسابی این تغییرات  $+24/189$  در هزار محاسبه شده

طرف عمق دارای منطقه‌ی بندی کانی‌شناسی غیرسولفیدی به سولفیدی است می‌تواند گویای این مطلب باشد که رگه‌های سولفیدی با سنگ میزبان کربناته، در نتیجه‌ی قرارگیری در معرض شرایط سوپرژن و تحت تأثیر سیالات جوی به کانی‌های غیرسولفیدی تبدیل شده‌اند. همچنین وجود کانسنگ سولفیدی در عمق پایین‌تر از سطح آب‌های زیرزمینی می‌تواند تأییدی بر این ادعا باشد، چرا که در زیر سطح آب‌های زیرزمینی، برتری کانی‌شناسی متعلق به کانی‌های سولفیدی است و تنها مقادیر ناچیزی کانی‌ی غیرسولفیدی این نوع کانسنگ را همراهی می‌کند. برای کانی‌های همی‌مرفت نیز نسبت ایزوتوپی کربن محاسبه شد. در این کانی تغییرات  $\delta^{13}\text{C}_{\text{PDB}}$  از  $-23/554$  تا  $-17/871$  در هزار در تغییر است. سبک‌ترین و سنگین‌ترین نسبت ایزوتوپی کربن به ترتیب متعلق به نمونه‌های همی‌مرفت معادن گوجر و تاجکوه است. همچنین میانگین حسابی  $\delta^{13}\text{C}_{\text{PDB}}$  این کانی  $-20/040$  در هزار محاسبه شده است. مقادیر به دست آمده مربوط به کانی‌های همی‌مرفت با نمودار تغییرات نسبت ایزوتوپی کربن در محیط‌های مختلف زمین‌شناسی مقایسه شد (تصویر ۳). این بررسی نشان داد که ترکیب ایزوتوپی کربن کانی‌های همی‌مرفت با هیچ یک از سنگ‌های رسوبی رایج، از جمله با سنگ کربناته‌ی میزبان، مشابه ندارد. هرچند که دامنه‌ی تغییرات ایزوتوپی کربن در مواد طبیعی بیشتر از  $100$  در هزار است (کربنات‌های سنگین  $+20$  تا  $-80$  در هزار Hoefs 2004)، در واقع می‌توان چنین اظهار نمود که تغییرات نسبت ایزوتوپی کربن این کانی در محدوده‌ی خارج از محدوده‌ی سنگ‌های رسوبی رایج و موجود در این ناحیه قرار دارد. تنها مشابهت موجود را می‌توان بین نمونه‌های همی‌مرفت با توده‌ی آلی (Biomass) مشاهده کرد. یکی از مشکلات مربوط به تفسیر نتایج مربوط به کانی‌های همی‌مرفت نبود اطلاعات علمی در خصوص وضعیت ایزوتوپی این کانی است. مرور تحقیقات ایزوتوپی نشان می‌دهد که تا کنون در منابع علمی موجود هیچ تحقیق ایزوتوپی برای این کانی ارائه نشده است.

در بسیاری از کانسارهای این ناحیه، رگه‌های ضخیم آرآگونیت با بافت کلوفرم وجود دارد. بهترین نمونه‌های این رگه‌ها در معادن کوه قلعه، مگسوبه و گوجر مشاهده می‌شود. با توجه به این که این رگه‌های نیز ممکن است با فرایندهای مشابه تشکیل کانسنگ غیرسولفیدی به

A

به تمرکز ایزوتوپ‌های سنگین‌تر هستند (Hoefs 2004) و طبعاً کانی‌های کربناته نظیر اسمیت‌سونیت به طور طبیعی می‌توانند از ایزوتوپ سنگین اکسیژن غنی باشند و به این ترتیب می‌توان به این تنافق پاسخ داد. با این توضیح ممکن است بتوان پذیرفت که سیالات مسئول هوازدگی کانسنگ سولفیدی آب‌های جوی بوده‌اند که در حین فرایند هوازدگی کانی‌های سولفیدی روی، ایزوتوپ‌های سنگین اکسیژن را در ساختمان کانی اسمیت‌سونیت متمرکز نموده‌اند.

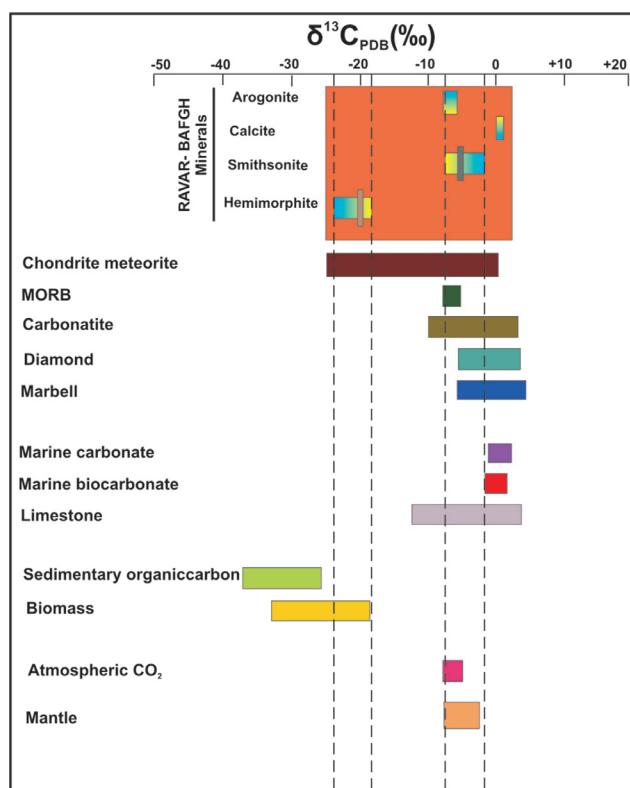
نسبت ایزوتوپی اکسیژن در کانی همی‌مرفیت نیز نشان می‌دهد که مقادیر  $\delta^{18}\text{O}_{\text{SMOW}}$  در این کانی از  $+16/263$  (نمونه‌ی مربوط به معدن طرزه) تا  $+19/580$  (نمونه‌ی مربوط به معدن گیچرکوه) در هزار در تغییر بوده و میانگین حسابی این مقادیر  $+17/108$  در هزار محاسبه شده است. همچنین مقادیر  $\delta^{18}\text{O}_{\text{PDB}}$  این کانی در کانسارهای مختلف ناحیه از  $-10/-876$  تا  $-14/160$  در هزار در تغییر است. میانگین حسابی  $\delta^{18}\text{O}_{\text{PDB}}$  این کانی نیز  $-12/380$  در هزار محاسبه شده است.

نتایج مربوط به کانی همی‌مرفیت نیز با محیط‌های مختلف زمین‌شناسی مقایسه شد (تصویر ۴). در این مورد نیز مشابهت بین این کانی و سنگ آهک، رسوبات رسی، نهشته‌های آواری و سنگ‌های دگرگونی وجود دارد که با توجه به سنگ میزبان کانسارهای این ناحیه می‌توان تنها مشابهت با سنگ آهک را حائز اهمیت دانست. در مورد مقایسه با سیالات مختلف نیز باید عنوان کرد که تنها سیالات دگرگونی با ترکیب ایزوتوپی این کانی سازگار می‌باشد که در این مورد نیز به دلیل نبود دگرگونی شاخص در این ناحیه تنافق وجود دارد. پاسخگویی به این تنافق نیز با توجه به ترکیب سیلیکاته کانی همی‌مرفیت قابل توجیه است، به گونه‌ای که اثبات گردیده است که پیوند با سیلیسیم نیز قادر به تمرکز ایزوتوپ‌های سنگین  $^{18}\text{O}$  است. در واقع شواهد صحرائی و ساختار کانی‌شناسی می‌تواند در رفع این ابهام مؤثر باشد. در نتیجه می‌توان در این مورد نیز پذیرفت که سیالات جوی در حین فرایند هوازدگی، ایزوتوپ‌های سنگین اکسیژن را در ساختمان کانی همی‌مرفیت متمرکز نموده‌اند.

نمونه‌های آراغونیت نیز کم و بیش در محدوده‌ی حدّ فاصل اسمیت سونیت و همی‌مرفیت قرار گرفته‌اند و در نتیجه می‌توان فرایند

است. همچنین تغییرات  $\delta^{18}\text{O}_{\text{PDB}}$  در این کانی از  $-6/882$  تا  $-8/768$  در هزار محاسبه شده است و میانگین حسابی این تغییرات  $-6/499$  در هزار به دست آمده است.

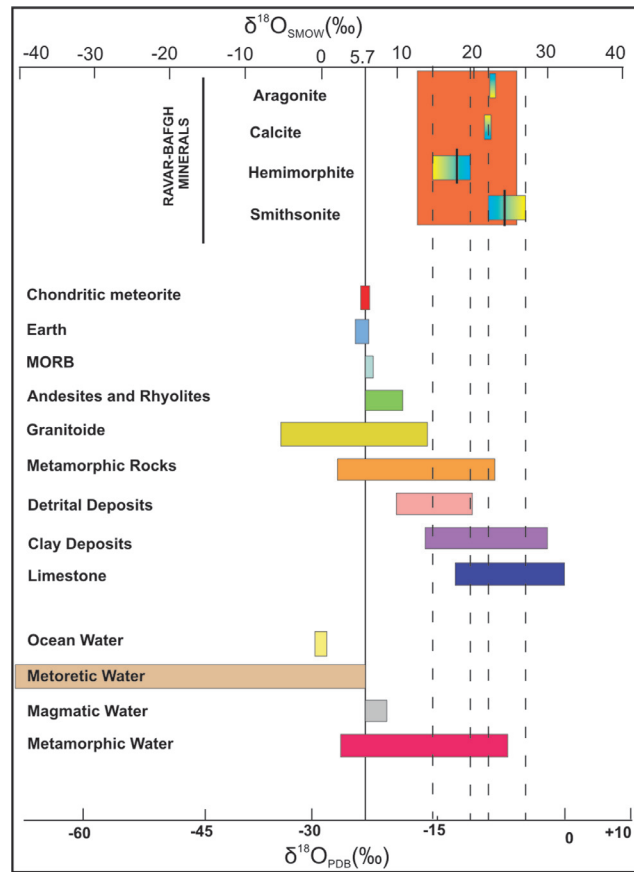
مقایسه‌ی انجام شده بین مقادیر نسبت ایزوتوپی کانی اسمیت‌سونیت با محیط‌های مختلف زمین‌شناسی نشان می‌دهد که این کانی قابل مقایسه با سنگ آهک و رسوبات رسی است (تصویر ۴). این مقایسه نتایج مربوط به نسبت ایزوتوپی کربن را تا حدودی تأیید می‌کند، اما نتایج مربوط به کانی اسمیت‌سونیت با هیچ یک از سیالات رایج و مورد انتظار تطبیق نمی‌کند و فقط با سیالات دگرگونی قابل مقایسه است. در نتیجه طبق این مقایسه نمی‌توان سیالات جوی را در تشکیل



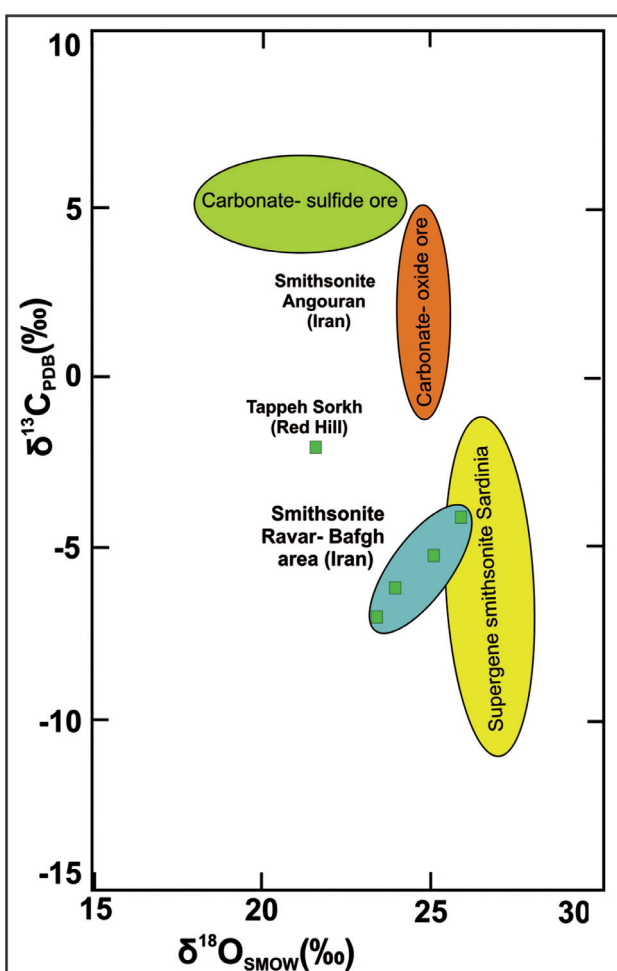
تصویر ۳- مقادیر نسبت ایزوتوپی کربن در محیط‌های مختلف (Kerridge 1986, Hoefs 2004) جایگاه کانی‌های غیرسولفیدی روی (همی‌مرفیت و اسمیت‌سونیت)، رگه‌های هیدروترمال آراغونیت و باطله‌های کربنات همراه با کانسنگ سولفیدی در کانسارهای روی و سرب ناحیه‌ی راور-بافق.

این کانی دخیل دانست. برای پاسخ‌گویی به این ابهام باید یادآوری نمود که ترکیب کانی‌شناسی اسمیت‌سونیت به دلیل حالت اکسیدی بالا قادر به تفکیک ایزوتوپی و جذب بیشتر  $^{18}\text{O}$  در مقایسه با  $^{16}\text{O}$  است. در این مورد ثابت شده است ترکیبات دارای پیوند اکسیدی قادر

علی‌رغم استفاده‌ی وسیع از نسبت ایزوتوپی کربن و اکسیژن در مطالعه‌ی برخی از کانسارها، هنوز کاربرد این دو نسبت برای مطالعه‌ی کانسارهای غیرسولفیدی روی و سرب چندان رایج نشده است. مطالعه بر روی نسبت‌های ایزوتوپی کربن و اکسیژن در کانسار روی انگوران ایران بر روی فازهای غیرسولفیدی، توسط (Gilg et al. 2003) به انجام رسیده است. بونی و همکاران (Boni et al. 2003) نیز مطالعه مشابهی بر روی کانسار ایگلزینت (Iglesiente) در ساردنیا (Sardinia) انجام داده‌اند (تصویر ۵). در این نمودار نیز جایگاه نمونه‌های کانی اسمیت سونیت کانسارهای ناحیه‌ی راور-باقن نمایش داده شده است. همان گونه که در تصویر ۵ مشاهده می‌شود، نمونه‌های اسمیت سونیت ناحیه‌ی مورد مطالعه مشابهت بیشتری با نمونه‌های اسمیت سونیت سوپرژن کانسار ایگلزینت دارد و در آنجا نیز منشاء جوی برای سیالات مؤثر در تشکیل این کانی پیشنهاد شده است.



تصویر ۴- مقادیر نسبت ایزوتوپی اکسیژن در محیط‌های مختلف (Taylor 1974, Sheppard 1977, Hoefs 2004) و جایگاه کانی‌های غیرسولفیدی روی (همی مرفت و اسمیت سونیت)، رگه‌های هیدروترمال آراغونیت و باطله‌های کربناته همراه با کانسنگ سولفیدی در کانسارهای روی و سرب ناحیه‌ی راور-باقن.



تصویر ۵- نمایش موقعیت نمونه‌های اسمیت سونیت کانسارهای روی و سرب ناحیه‌ی راور-باقن در نمودار  $\delta^{13}\text{C}_{\text{PDB}} (\text{\textperthousand})$ - $\delta^{18}\text{O}_{\text{SMOW}} (\text{\textperthousand})$ . موقیت نمونه‌های اسمیت سونیت مربوط به انگوران از (Gilg et al. 2003) و نمونه‌های مربوط به از (Boni et al. 2003) نقل شده است.

مشابهی را برای تشکیل آن‌ها در نظر گرفت. این نمونه‌ها بیشترین شباهت را با کانی اسمیت سونیت نشان می‌دهند. کانی کلسیت همراه با کانسنگ سولفیدی نیز در محدوده‌ی سنگ آهک قرار گرفته و در نتیجه می‌توان فرایند تشکیل آن را مشابه با سنگ آهک دانست.

#### ۶- نمودارهای نسبت ایزوتوپی کربن و اکسیژن

در مطالعات ایزوتوپی اکسیژن و کربن غالباً نتایج ایزوتوپی این دو عنصر به طور همزمان نیز مورد بررسی قرار می‌گیرد. مطالعه‌ی همزمان این دو نسبت ایزوتوپی در سنگ‌های کربناته، وسیله‌ی مطمئنی برای تشخیص کربناته‌های دارای منشاء‌های مختلف می‌باشد (Rollinson 1995). به طوری که تشخیص انواع سنگ کربناته، نوع سیمان و محدوده‌ی سیالات گرمابی دخیل در تشکیل کانسارهای نوع دره‌ی می‌سی‌بی به کمک تلفیق این دو نسبت ایزوتوپی امکان پذیر است.

با سنگ‌های کربناته قابل مقایسه است.

## ۷- تئیم‌گیری

به رغم کاربرد وسیع بررسی‌های ایزوتوبی در مطالعه‌ی کانسارهای سولفیدی روی و سرب، هنوز از این ابزار در مطالعه‌ی کانسارهای غیرسولفیدی روی و سرب استفاده‌ی چندانی نشده است. در این تحقیق، ضمن پرداختن به مطالعه بر روی ایزوتوب‌های کربن و اکسیژن، نتایج زیر به دست آمده است:

۱- بررسی نسبت ایزوتوبی کربن در کانی اسمیت‌سونیت نشان

می‌دهد که ترکیب ایزوتوبی این کانی مشابه با  $\text{CO}_2$  جوی و سنگ آهک است. در نتیجه می‌توان سیالاتی با منشاء جوی (به عنوان سیال اصلی) و آب دریا (سیال روزنه‌ای محبوس در تخلخل سنگ کربناته میزان) را سیالات مؤثر در تشکیل این کانی در نظر گرفت.

۲- نسبت ایزوتوبی کربن کانی همی مرفت با هیچ یک از سنگ‌های رسوبی رایج همچومنی نداردو تنها با توده‌ی آلی (Biomass) قابل مقایسه است. با توجه به این که توده‌ی آلی در شرایط سطح زمین شکل می‌گیرد، در نتیجه می‌توان پذیرفت که این کانی نیز در شرایط سوپرژن به وجود آمده است.

۳- نمونه‌های باطله‌ی کلسیتی همراه با کانسنگ سولفیدی از نظر ترکیب ایزوتوبی مشابه خوبی با کربناته‌ها، بی‌کربناته‌ها و سنگ آهک داشته و بنابراین می‌توان نتیجه‌گیری نمود که کانسنگ سولفیدی تحت تأثیر سیالاتی مشابه با آب دریا به وجود آمده است.

۴- نسبت ایزوتوبی اکسیژن کانی اسمیت‌سونیت مشابه سنگ آهک است، اما این نسبت با سیالات مورد انتظار برای تشکیل این کانی، یعنی آب‌های جوی همچومن نیست. علت این تناقض را می‌توان در ارتباط با ساختار کانی اسمیت‌سونیت توجیه نمود. به طوری که تشکیل ترکیبات کربناته می‌تواند سبب تفکیک ایزوتوبی شده و ایزوتوب‌های سنگین را در ساختمان خود متتمرکز سازد. در نتیجه بدیهی است که ترکیب ایزوتوبی اسمیت‌سونیت نسبت به سیال سازنده خود قدری سنگین‌تر باشد.

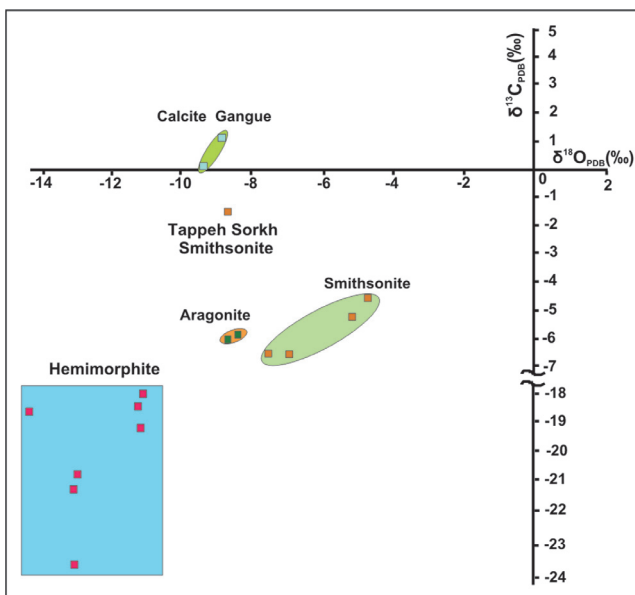
۵- نسبت ایزوتوبی اکسیژن کانی همی مرفت مشابه با سنگ آهک است. اما ترکیب ایزوتوبی اکسیژن این کانی نیز با سیالات مورد انتظار (آب‌های جوی) همچومنی ندارد که دلیل این امر نیز ترکیب کانی شناسی آن است. در واقع ساختار سیلیکاته همی مرفت عامل

علاوه بر نمودار یاد شده، گاهی از فرم دیگر این نمودارها نیز استفاده

می‌شود. در این فرم  $\delta^{13}\text{C}$  و  $\delta^{18}\text{O}$  به صورت دو خط عمود بر هم

ترسیم می‌شوند. استاندارد مورد استفاده نیز برای هر دو عنصر استاندارد نمونه‌ی صدف فسیل بلمنیت است. در این نمودار نیز کانی‌های اسمیت‌سونیت، همی مرفت، آراغونیت و باطله کربناته همراهی کننده کانسنگ سولفیدی نمایش داده شده است (تصویر ۶). چنان‌که در این شکل مشخص شده است، کانی‌های اسمیت‌سونیت، آراغونیت و باطله کربناته در جایگاهی با میزان منفی  $\delta^{13}\text{C}$  و  $\delta^{18}\text{O}$  نسبت به استاندارد نمونه‌ی صدف فسیل بلمنیت واقع شده‌اند.

این جایگاه برای سنگ‌های کربناته قابل پیش‌بینی است. همچنین جایگاه باطله‌های کلسیتی با  $\delta^{13}\text{C}$  نزدیک به صفر تا کمی مثبت و



تصویر ۶- نمودار  $\delta^{377}\text{CPDB}$  در مقابل  $\delta^{18}\text{OPDB}$  و موقعیت کانی‌های غیرسولفیدی روی شامل اسمیت‌سونیت و همی مرفت و همچنین جایگاه رگه‌های آراغونیت گرمابی و باطله کربناته (عدمتاً کلسیتی) همراهی کننده کانسنگ سولفیدی در کانسارهای روی و سرب ناحیه‌ی راور-بافق.

مشابهت با نمونه‌ی استاندارد حکایت از منشاء دریابی آن دارد. اما در عوض، کانی همی مرفت در این نمودار جایگاهی غیرعادی دارد.

به طوری که این کانی به شدت از نظر  $\delta^{13}\text{C}$  فقیر می‌باشد و برای

نشان دادن آن، محور  $\delta^{13}\text{C}$  را باید تا اعداد منفی بیشتری ادامه داد. به

هر حال شاید دلیل این امر چنین باشد که اساساً ساختمان همی مرفت فاقد مقدار کافی کربن است و فقط مقادیر بسیار جزئی از این عنصر در ساختمان آن مشارکت می‌نماید. با این حال، مقدار  $\delta^{18}\text{O}$  این کانی

**Kerridge, J. F., 1985,** "Carbon, hydrogen and nitrogen in carbonaceous chondrites: abundances and isotope compositions in bulk samples", *Geochim. Cosmochim. Acta*, Vol. 49: 1707-1714.

**McCrea J. M., 1950,** "On the isotopic chemistry of carbonates and a paleotemperature scale", *J. Chem. Phys.*, Vol. 18: 849-857.

**Rollinson, H. R., 1995,** "Using geochemical data: evaluation, presentation and interpretation", *Longman Group, UK*, 344p.

**Sheppard, S. M. F., 1977,** "The Cornubian batholith, SW England: D/H and  $^{18}\text{O}/^{16}\text{O}$  studies of kaolinite and other alteration minerals", *J. Geol. Soc.*, Vol. 133: 573-591.

**Swart P. K., Burns S. J., & Leder J. J., 1991,** "Fractionation of the stable isotopes of oxygen and carbon in carbon dioxide during the reaction of calcite with phosphoric acid as a function of temperature and technique", *Chem. Geol. Isotope Geosc. Section*, Vol. 86: 89-96.

**Taylor, H. P., 1974,** "The application of oxygen and hydrogen isotope studies to problems of hydrothermal alteration and ore deposition", *Econ. Geol.*, Vol. 69: 843-883.

**Walters, L. J. Jr., Claypool, G. E. & Choquette, P. W., 1971,** "Reaction rates and  $^{18}\text{O}$  variation for the carbonate-phosphoric acid preparation method", *Geochim. Cosmochim. Acta*, Vol. 36: 129-140.

غنى شدگى آن از ايزوتوب های سنگين اكسيزن است.

۶- نمودارهای مقایسه‌ی همزمان نسبت‌های ايزوتوبی کربن و اکسیزن نيز ضمن تأييد منشاء سیالات جوی برای تشکیل کانسنگ غیرسولفیدی، نشان می دهد که کانی اسمیت سونیت کانسارهای این ناحیه شباهت قابل ملاحظه‌ای با نمونه‌های اسمیت سونیت کانسار ایگلزینت در ساردنیا ایتالیا دارد.

۷- در آخر می توان نتيجه گیری نمود که قرارگیری کانسنگ سولفیدی در معرض هوازدگی سطحی و تحت تأثیر سیالات جوی فرورو (و به مقدار کمتر سیالات روزنه‌ای محبوس در تخلخل سنگ میزان کربناته که در نتيجه‌ی فشارهای تکتونیکی به حرکت در آمده) به کانسنگ غیرسولفیدی تبدیل شده است.

## ۷- مراجع

امیری، ع، ۱۳۸۶، مطالعه‌ی ویژگی‌های زمین‌شناسی، ژئوشیمیائی و ژنز کانسارهای روی و سرب با سنگ میزان کربناته در ناحیه راور- بافق، رساله‌ی متشر نشده دکترای تخصصی زمین‌شناسی اقتصادی، دانشگاه آزاد اسلامی واحد علوم و تحقیقات، ۳۲۰ ص.

امیری، ع، ۱۳۸۵، رسا، ای، استراتاباند غیرسولفیدی روی و سرب در ناحیه‌ی کوهبنان- بهاباد، فصلنامه‌ی زمین‌شناسی کاربردی، دانشگاه آزاد اسلامی واحد زاهدان، سال دوم، شماره اول، صفحات ۹-۲۰.

**Boni, M., Gilg, H. A., Aversa, G., & Balassone, G., 2003,** "The "calamine" of southwest Sardinia (Italy): Geology, mineralogy, and stable isotope geochemistry of nonsulfide Zn mineralization", *Econ. Geol.*, Vol. 98: 731-748.

**Coplen, T.B., Kendall, C. & Hopple, J., 1983,** "Comparison of stable isotope reference samples", *Nature, London*, Vol. 302: 236-238.

**Craig, H., 1957,** "Isotopic standards for carbon and oxygen and correction factors for mass-spectrometric analysis of carbon dioxide", *Geochim. Cosmochim. Acta*, Vol. 12: 133-149.

**Field, C. W & Fifarek R. H. 1986,** "Light stable isotope systematics in the epithermal environments", In: *B. R. Berger & P. M. Bethke (eds.) Geology and geochemistry of epithermal systems. Soc. Econ. Geol. Rev. Econ. Geol.*, Vol. 2: 99-128.

**Gilg, H. A. Allen, C. Balassone, G. Boni, M. & Moore, F., 2003,** "The 3- stage evolution of the Angouran Zn "oxide"-sulfide deposit, Iran", In: *Eliopoulos, D. et al. 2003, (eds.) Mineral exploration and sustainable development", Mill press, Rotterdam*: 77-80.

**Hitzman, M. W., Reynolds, N. A., Sangster, D. F., Allen, C. R. & Carman, C. E., 2003,** "Classification, genesis, and exploration guides for nonsulfide zinc deposits", *Econ. Geol.*, Vol. 98 (4): 684-714.

**Hoefs, J., 2004,** "Stable isotope geochemistry", 5th edition, *Springer Verlag, Berlin*: 244p.